

金沢工業大学 正員 中川武夫  
金沢工業大学 正員 今井悟  
金沢工業大学 学生員。牧田孝之

### 1. 緒言

流水蛇行が側壁が固定、床が砂からできている水路内で起こるという事実は既に木下(1957)、Chang et al(1971)、中川・堀田(1982)、Nakagawa(1983)等により報告され、この流水蛇行は水路床に形成される交互砂州との間の密接な関係が指摘されていいる。木下(1957)は流水蛇行の発生条件が水路幅に対する水深比  $d/w$  で規定できることを示唆している。

本研究は、側壁が固定、床が砂でできている水路内の流水蛇行発生時の水路幅に対する水深比  $d/w$  の値を実験的に求めること及び  $d/w$  の値によって水路内の流水運動及び水路床の形態がどのように変化するかを明らかにすることを目的とする。

### 2. 実験装置及び実験方法

Fig.1 は実験に使用した水路の平面図と計測面図を示す。水路上流端の湛水部と下流端の澁砂部の間に厚さが 0.1 m となるように砂を敷き、砂の表面が水平となるように整地した。砂面勾配は水路工端部下流にスペーサーを挿入することにより 1/100 に設定した。継いで、固めようとに長さ 3 m、幅 0.15 m、厚さ 10 mm の二枚のアクリル板を内壁面が互に平行で、その間隔が 0.1 m となるよう砂面に対して垂直に設置して立てた。一方あわて、二枚を二枚のアクリル板が本実験水路の側壁となり、二の間に挟まれた長さ 3 m、幅 0.1 m の砂層が水路床となるわけである。水路への水の供給は前水槽、ボンス、湛水部底部の有孔バッフル、湛水部、導入水路を経て行われた。各実験ごとの流量計測はメスシリンダーを用いて、ボンス出口部において行った。また、実験に使用した砂の中粒粒径は 0.31 mm であり、その比重は 2.65 である。

Table 1 には、二二で行なった 4 種類の実験ごとの流量、平均流速、平均水深、フルード数、水路幅及び水路幅に対する水深の比の値を掲げた。実験中、水路内における流水の運動及び水路床形態の写真撮影を逐次行なうと共に、流水が水路入口に達してから約 2 分後より水路内の端面平面位置の測定をボイント・ゲージにより流下方向へ 10 cm ずつ行なった。また、各実験の通水時間は 25 分間であり、通水後は実験終了直後に 10 cm ずつ流下方向と水路幅方向へ、当量空孔 10 cm 及び 0.5 cm 間隔で水路床の高さの測定をボイント・ゲージを用いて行なった。

なお、実験結果の解析においては、初期水路入口端の床の中央を原点とし、水流が水流下方向を

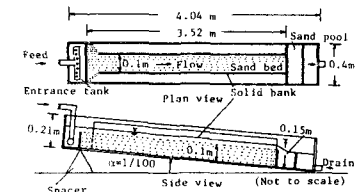


Fig.1: Schematic diagram of the experimental set-up.

	Exp.1	Exp.2	Exp.3	Exp.4
Discharge [cm³/s]	127	241	300	333
Mean velocity $U$ [cm/s]	31	27	29	25
Mean depth $d$ [cm]	0.40	0.89	1.03	1.31
Froude no. $F_F = U/\sqrt{gd}$	1.58	0.92	0.92	0.71
Channel width $w$ [cm]	10	10	10	10
Depth/width $d/w$	0.04	0.09	0.10	0.13

$x$  軸、左岸方向を  $y$  軸として上方を  $z$  軸の正方向とする右半座標系を採用した。但し、水路断面形状の表示にあたりては、  $z$  軸の原点は常に当該断面の初期水路床の高さとした。また、実験経過時間の時間原点は流水が初期水路入口端へ到達した時点とした。

### 3. 実験結果及考察

Fig.2 は各実験ごとの流心の平面軌跡を示す。因から水路幅に対する水深の比  $d/w$  の値が増加するにつれて水路中心軸を基準としたときの流心平面軌跡の波長及び振幅はいずれも減少する傾向を示

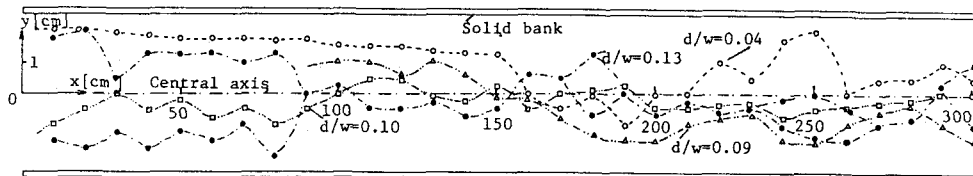


Fig.2: Plan locus of stream centre for each experiment. ( $t=2$  min.)

してしまった。二つ目で、流心平面軌跡の測定は  $t=2$  min. の実験初期に行なわれたものであるので、二か所点では前述のように  $d/w$  の値が大きくなると、流心の水平振動の振幅は小さくなり、時間の経過とともに徐々に増加し、最終的にはいずれかの実験における場合に二つの振幅は水路半幅に等しくなるが、流心の水平振動の波長は時間の経過とともに独立して  $d/w$  の値に固有ではなくほぼ一定を保持する二つが明らかになつた。二組の併存して、水路床には  $d/w$  の値に固有な流心の水平振動の半波長と波長との等しい河床波が形成された。

Table 2 に各実験ごと、流心航行の程度、河床波の形態、河床波の長さ、河床波の最大高さ及び水路床の浸食性・堆積性の別をまとめて示してある。二表から、河床波の形態は  $d/w$  の値が 0.10 未満の実験 1 と 2 の場合には交互砂州、 $d/w$  の値が 0.10 の実験 3 の場合には砂堆として  $d/w$  の値が 0.10 より大きい実験 4 の場合には二つの砂州を行く。河床波の長さは  $d/w$  の値の增加に伴つて減少する傾向を認めたことがである。河床波の最大高さは実験 1 の方が約 1 cm であるのに對して、残りの三つの実験の方が約 2 cm である。水路床の浸食性を除了した堆積性であるが、流心軌跡がほとんどの直線なり、水路床に砂堆が形成された実験 3 の場合には浸食性であることが明らかになつた。また、流心軌跡の数が複数となり、水路床に二つの砂州が形成された実験 4 の場合には水路断面に於ける砂の量が河床波の形態と対応する。

### 参考文献

- Chang, H.Y., Simons, D.B. & Woolhiser, D.A.(1971) Proc. Am. Soc. civ. Engrs. 97, WWI, 155-164.  
 Kinoshita, R.(1957) Trans. Japan Soc. civ. Engrs. 42, 1-21.  
 Nakagawa, T. & Hotsuta, M.(1982) Proc. 26th Japanese Conf. Hydraulics, Tokyo, 45-50.  
 Nakagawa, T.(1983) Sedimentology, 30(to be published).

	Exp.1	Exp.2	Exp.3	Exp.4
Locus of stream centre	Sinuous	Sinuous	Straight	Straight but multiple
Type of sand wave	Alternate bars	Alternate bars	Dunes	Imbricate bars
Length of sand wave [cm]	=50	=25	=20	=10
Maximum height of sand wave [cm]	=1	=2	=2	=2
Erosion bed or deposition bed	Erosion	Deposition	Deposition	Erosion Equilibrium